

Typ: Sprężarki hermetyczne spiralne

Producent: Copeland

Typoszereg: ZR

Model: ZR28K3E-PFJ

Dane techniczne

Wydajność objętościowa [m ³ /h]:	6,8
Natężenie hałasu [dBA]:	65
Ciśnienie akustyczne [dB]:	54
Masa netto [kg]:	25
Masa brutto [kg]:	29
Napełnienie olejem [dm ³]:	1,0
Maksymalne wysokie ciśnienie [bar]:	29,5
Maksymalne stałe ciśnienie [bar]:	20
Maksymalna temperatura nasycenia TS [°C]:	50
Kategoria PED:	1

Dane elektryczne

Zasilanie [V/~/Hz]:	220-240/1/50Hz
Prąd zwarcia [A]:	61
Max. pobór prądu [A]:	14,8
Oporność uzwojenia [Ω]:	1,2
Oporność uzwojenia rozruchowego [Ω]:	2,2

Przyłącza

	<u>cale</u>
Przyłącze rurowe na ssaniu (lutowane):	3/4"
Przyłącze rurowe na tłoczeniu (lutowane):	1/2"

R134a

Wydajność chłodnicza [kW]

$t_c \setminus t_e$	-20	-15	-10	-5	0	5	10	15
30	1.62	2.14	2.73	3.41	4.21	5.15	6.25	-
35	1.48	1.99	2.56	3.22	3.99	4.89	5.95	-
40	1.35	1.85	2.40	3.04	3.77	4.64	5.65	6.84
45	-	1.71	2.25	2.85	3.56	4.38	5.35	6.48
50	-	1.57	2.09	2.67	3.34	4.12	5.04	6.12
55	-	-	1.92	2.48	3.11	3.85	4.72	5.75
60	-	-	-	2.27	2.88	3.58	4.40	5.36
65	-	-	-	2.06	2.63	3.28	4.06	4.97
70	-	-	-	-	2.36	2.98	3.70	4.55
75	-	-	-	-	2.08	2.65	3.32	4.11

Pobór mocy [kW]

$t_c \setminus t_e$	-20	-15	-10	-5	0	5	10	15
30	0.91	0.90	0.91	0.91	0.90	0.90	0.89	-
35	1.01	1.01	1.01	1.02	1.02	1.02	1.01	-
40	1.12	1.12	1.12	1.12	1.13	1.13	1.13	1.13
45	-	1.24	1.24	1.24	1.24	1.25	1.25	1.25
50	-	1.38	1.37	1.37	1.37	1.38	1.38	1.38
55	-	-	1.53	1.53	1.53	1.53	1.53	1.53
60	-	-	-	1.72	1.71	1.71	1.71	1.70
65	-	-	-	1.95	1.94	1.93	1.92	1.91
70	-	-	-	-	2.21	2.19	2.18	2.16
75	-	-	-	-	2.54	2.51	2.49	2.47

Prad [A]

$t_c \setminus t_e$	-20	-15	-10	-5	0	5	10	15
30	4.96	4.95	4.95	4.96	4.96	4.94	4.89	-
35	5.36	5.35	5.36	5.38	5.40	5.40	5.38	-
40	5.78	5.77	5.78	5.81	5.83	5.85	5.84	5.80
45	-	6.24	6.25	6.27	6.30	6.32	6.32	6.30
50	-	6.81	6.81	6.82	6.84	6.86	6.86	6.85
55	-	-	7.49	7.48	7.49	7.50	7.50	7.48
60	-	-	-	8.30	8.29	8.28	8.27	8.24
65	-	-	-	9.32	9.28	9.24	9.21	9.16
70	-	-	-	-	10.50	10.43	10.37	10.29
75	-	-	-	-	11.98	11.87	11.77	11.67

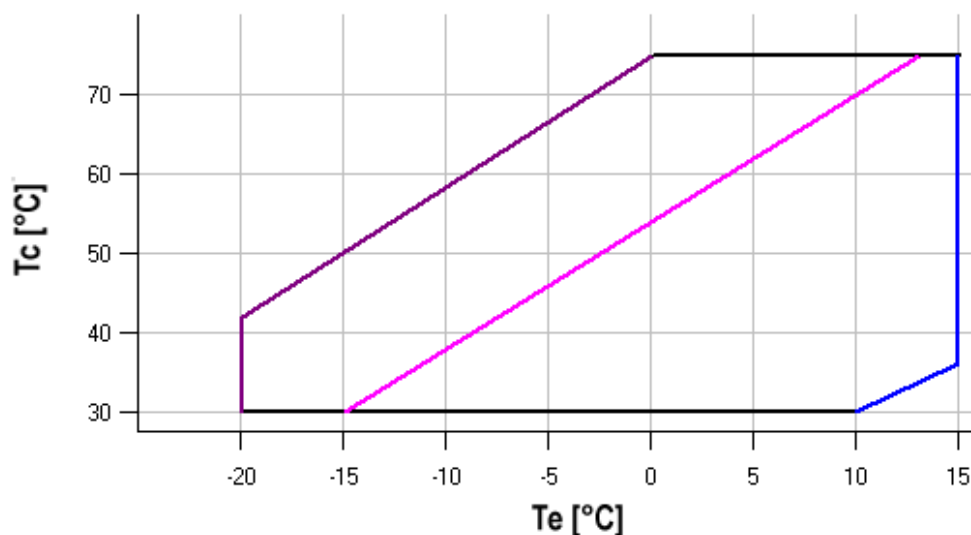
Przepływ masowy [kg/h]

$t_c \setminus t_e$	-20	-15	-10	-5	0	5	10	15
30	38.03	49.50	61.95	75.87	91.75	110.06	131.29	-
35	36.65	48.35	60.98	75.02	90.94	109.24	130.40	-
40	35.38	47.33	60.14	74.30	90.29	108.59	129.69	154.07
45	-	46.30	59.32	73.61	89.68	108.00	129.05	153.32
50	-	45.16	58.38	72.83	88.99	107.33	128.35	152.53
55	-	-	57.23	71.84	88.10	106.48	127.49	151.59
60	-	-	-	70.51	86.89	105.33	126.33	150.36
65	-	-	-	68.75	85.25	103.76	124.76	148.74
70	-	-	-	-	83.06	101.65	122.67	146.61
75	-	-	-	-	80.20	98.88	119.94	143.85

C.O.P. [W/W]

$t_c \setminus t_e$	-20	-15	-10	-5	0	5	10	15
30	1.78	2.36	3.01	3.77	4.65	5.72	7.01	-
35	1.46	1.97	2.53	3.17	3.92	4.81	5.87	-
40	1.20	1.65	2.14	2.70	3.35	4.10	5.00	6.07
45	-	1.38	1.81	2.30	2.86	3.51	4.28	5.20
50	-	1.14	1.52	1.94	2.43	2.99	3.66	4.44
55	-	-	1.25	1.62	2.04	2.52	3.09	3.77
60	-	-	-	1.32	1.68	2.09	2.58	3.15
65	-	-	-	1.06	1.36	1.70	2.11	2.60
70	-	-	-	-	1.07	1.36	1.70	2.10
75	-	-	-	-	0.82	1.05	1.33	1.67

Zakres zastosowania



- Maksymalna temperatura parowania
- Temperatura gazu zasysanego 25°C
- Przegrzanie gazu 10K

Warunki robocze: przegrzanie na ssaniu 10K, dochłodzenie 0K

t_c - Temperatura skraplania [°C]

t_e - Temperatura odparowania [°C]

R407C

Wydajność chłodnicza [kW]

$t_c \setminus t_e$	-20	-15	-10	-5	0	5	10	15
30	2.48	3.20	4.04	5.03	6.18	7.52	9.06	10.82
35	2.31	3.00	3.81	4.76	5.86	7.15	8.63	-
40	2.13	2.79	3.56	4.47	5.53	6.75	8.17	-
45	-	2.57	3.31	4.16	5.17	6.34	7.69	-
50	-	-	3.04	3.84	4.79	5.89	7.18	-
55	-	-	-	3.50	4.39	5.43	6.64	-
60	-	-	-	-	3.97	4.93	6.06	-
65	-	-	-	-	-	4.41	5.46	-

Pobór mocy [kW]

$t_c \setminus t_e$	-20	-15	-10	-5	0	5	10	15
30	1.30	1.28	1.28	1.27	1.25	1.22	1.18	1.12
35	1.45	1.44	1.44	1.43	1.42	1.39	1.35	-
40	1.63	1.62	1.62	1.61	1.60	1.57	1.53	-
45	-	1.83	1.82	1.81	1.80	1.77	1.73	-
50	-	-	2.06	2.05	2.03	2.00	1.95	-
55	-	-	-	2.33	2.31	2.27	2.22	-
60	-	-	-	-	2.64	2.59	2.53	-
65	-	-	-	-	-	2.98	2.91	-

Prad [A]

$t_c \setminus t_e$	-20	-15	-10	-5	0	5	10	15
30	6.29	6.24	6.20	6.16	6.09	5.97	5.80	5.54
35	6.95	6.92	6.89	6.86	6.80	6.69	6.52	-
40	7.69	7.67	7.65	7.63	7.57	7.46	7.28	-
45	-	8.55	8.53	8.50	8.43	8.32	8.13	-
50	-	-	9.57	9.53	9.46	9.32	9.11	-
55	-	-	-	10.78	10.68	10.53	10.29	-
60	-	-	-	-	12.17	11.98	11.71	-
65	-	-	-	-	-	13.73	13.42	-

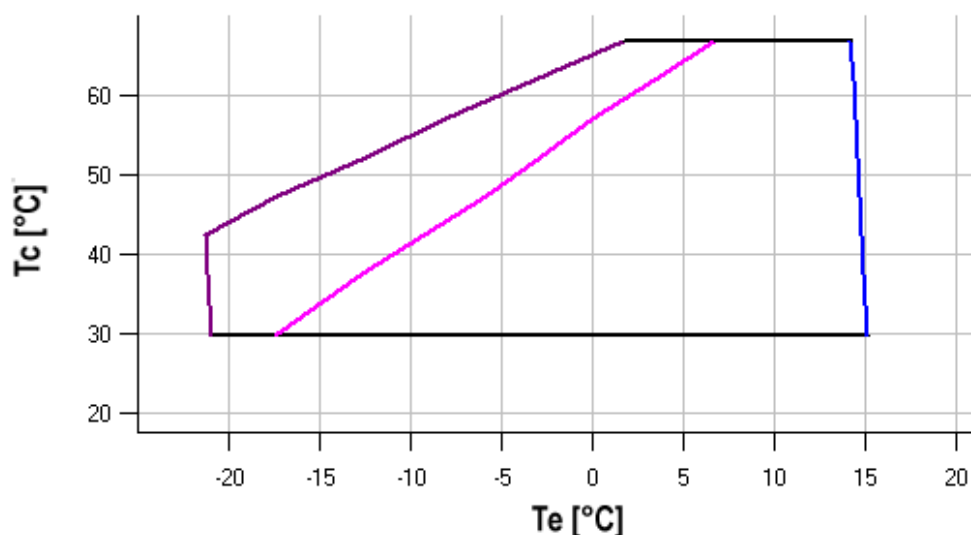
Przepływ masowy [kg/h]

$t_c \setminus t_e$	-20	-15	-10	-5	0	5	10	15
30	52.11	66.26	82.44	100.97	122.19	146.43	174.05	205.37
35	50.95	65.10	81.29	99.86	121.13	145.46	173.17	-
40	49.65	63.75	79.91	98.46	119.74	144.10	171.85	-
45	-	62.13	78.20	96.69	117.93	142.26	170.01	-
50	-	-	76.10	94.48	115.62	139.87	167.57	-
55	-	-	-	91.73	112.73	136.86	164.45	-
60	-	-	-	-	109.18	133.13	160.57	-
65	-	-	-	-	-	128.61	155.84	-

C.O.P. [W/W]

$t_c \setminus t_e$	-20	-15	-10	-5	0	5	10	15
30	1.91	2.49	3.17	3.97	4.95	6.15	7.66	9.64
35	1.59	2.08	2.65	3.32	4.14	5.13	6.37	-
40	1.31	1.72	2.21	2.78	3.46	4.30	5.33	-
45	-	1.41	1.82	2.30	2.88	3.58	4.45	-
50	-	-	1.47	1.88	2.36	2.95	3.67	-
55	-	-	-	1.50	1.90	2.39	2.99	-
60	-	-	-	-	1.50	1.90	2.39	-
65	-	-	-	-	-	1.48	1.88	-

Zakres zastosowania

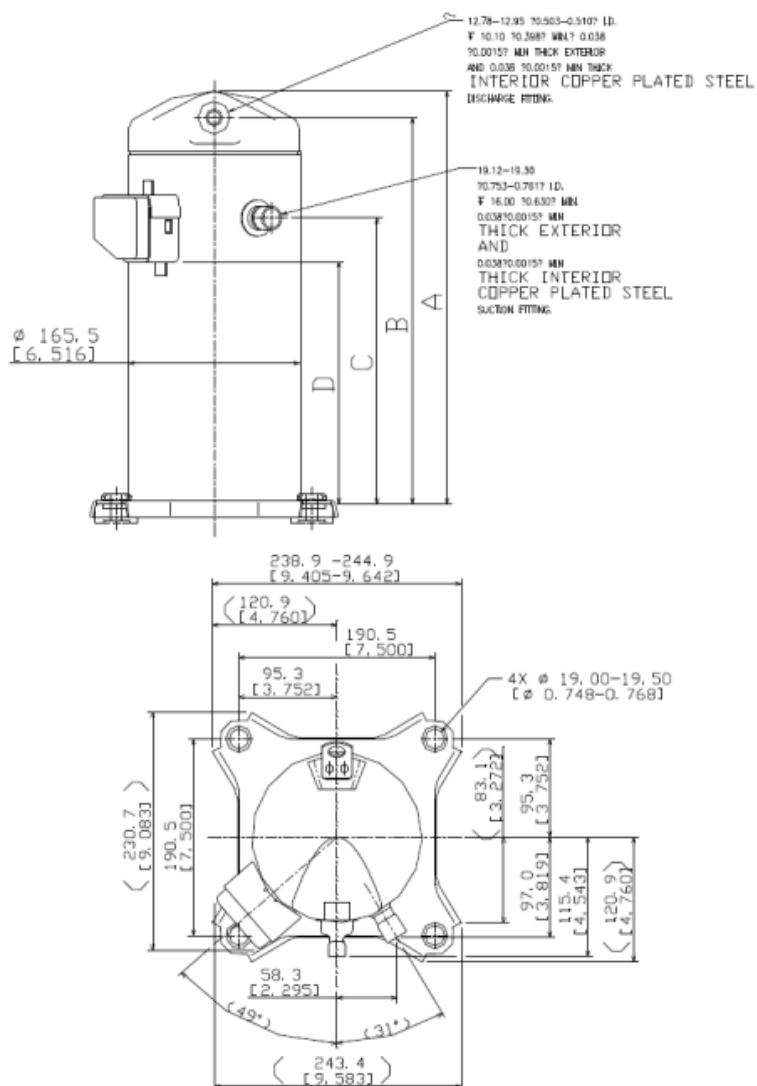


- Maksymalna temperatura parowania
- Temperatura gazu zasysanego 25°C
- Przegrzanie gazu 10K

Warunki robocze: przegrzanie na ssaniu 10K, dochłodzenie 0K

t_c - Temperatura skraplania [°C]

t_e - Temperatura odparowania [°C]



A	363 mm
B	338 mm
C	245 mm
D	202 mm

